



POLITECNICO
MILANO 1863

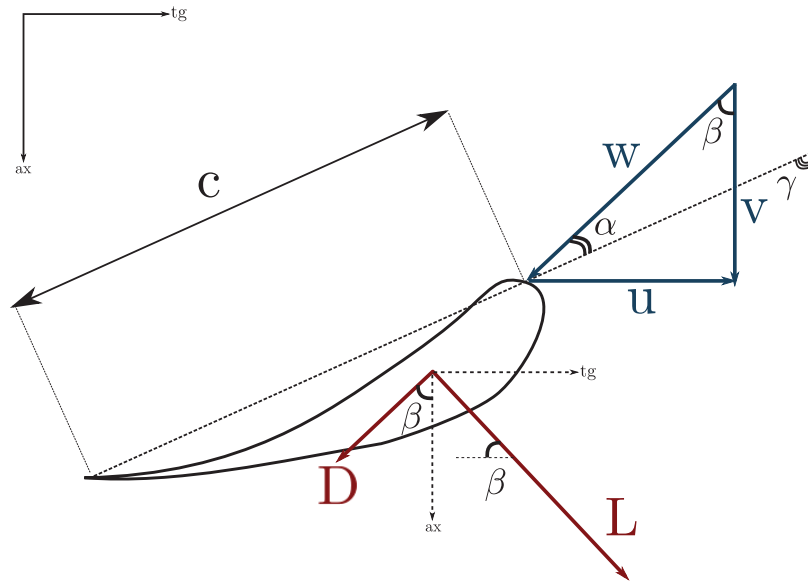
PROVA FINALE

HORIZONTAL AXIS WIND TURBINE (HAWT)

Alessandro Romei,
Giacomo Persico,

alessandro.romei@polimi.it
giacomo.persico@polimi.it

Nomenclatura - VELOCITÀ



u : Velocità Periferica,
velocità con cui si muove il rotore,
 $u = \omega \cdot r$

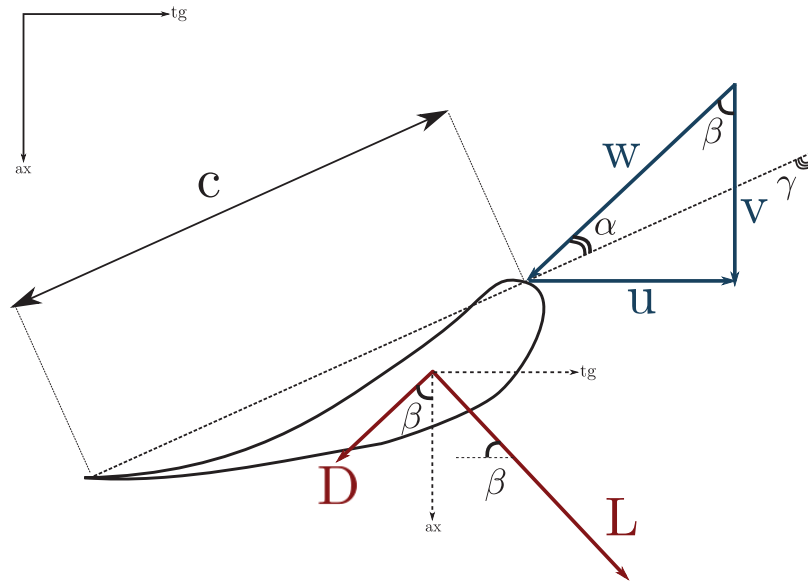
v : Velocità Assoluta,
si riferisce alla velocità assoluta al disco, in accordo alla teoria di Betz:
 $v = \frac{2}{3} v_{\infty}$

w : Velocità Relativa,
velocità del vento vista da un osservatore solidale con il rotore.

Assumendo che la velocità del vento sia puramente assiale (no componenti tangenziali), il triangolo delle velocità risultante è rettangolo:

$$w^2 = u^2 + v^2 \quad (1)$$

Nomenclatura - ANGOLI



α : **Angolo di Incidenza**,
angolo tra la corda e la componente
relativa della velocità w . In figura,
 $\alpha > 0$.

β : **Angolo Relativo**,
angolo tra la componente relativa w
e quella assoluta v .

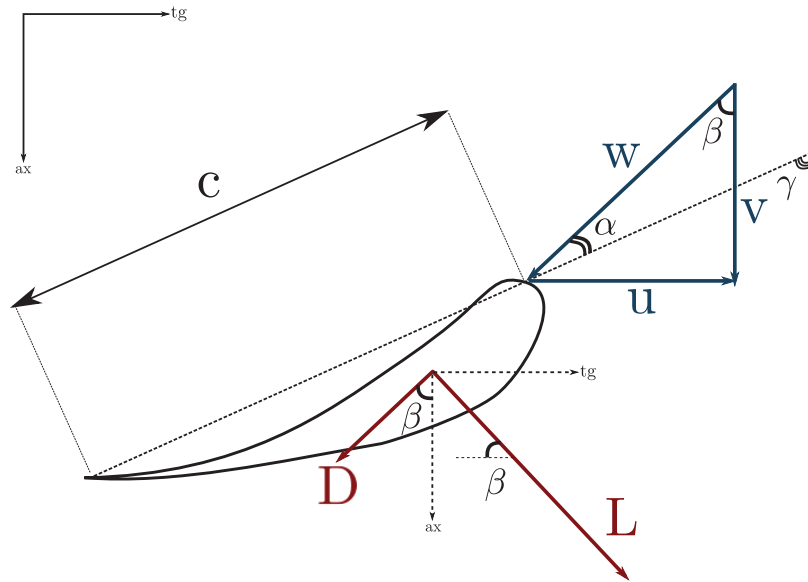
γ : **Angolo di Calettamento**,
angolo tra la corda e la direzione as-
siale.

\exists una relazione tra gli angoli (valutati con i loro segni):

$$\alpha = \gamma - \beta$$

(2)

Nomenclatura - FORZE AERODINAMICHE



L : Forza di Portanza,
sempre ortogonale alla direzione
della velocità relativa w
 D : Forza di Resistenza,
sempre parallela alla direzione della
velocità relativa w

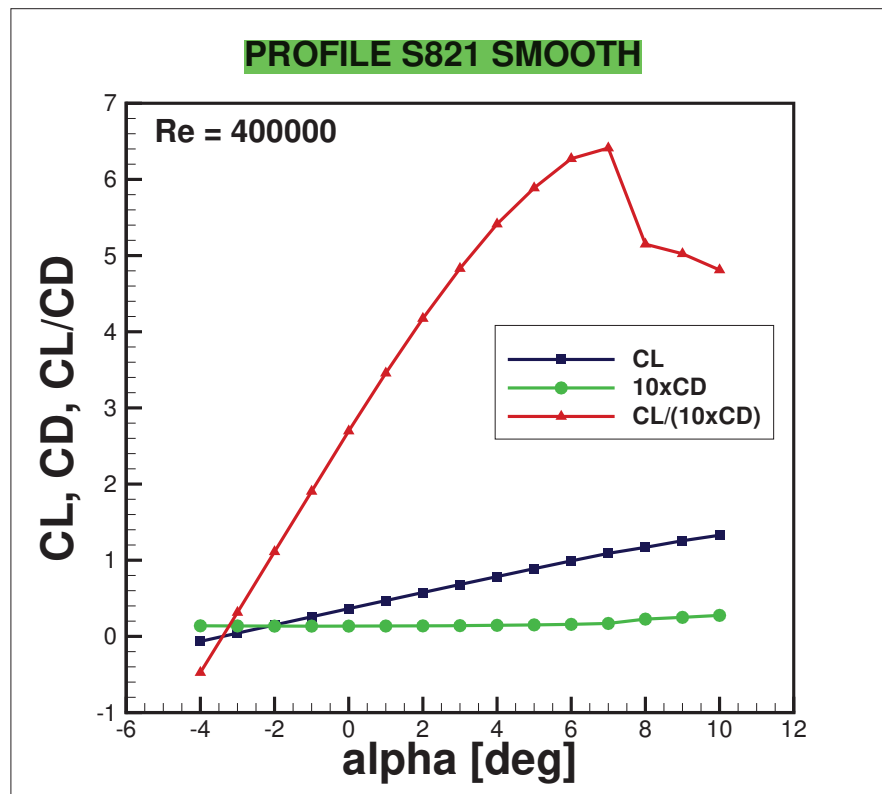
Si consideri un profilo palare collocato al raggio r di spessore infinitesimale dr . Le forze aerodinamiche agenti su tale profilo si possono esprimere come:

$$dL = \frac{1}{2} \rho A w^2 C_L = \frac{1}{2} \rho c dr w^2 C_L \quad (3)$$

$$dD = \frac{1}{2} \rho A w^2 C_D = \frac{1}{2} \rho c dr w^2 C_D \quad (4)$$

Coefficienti Aerodinamici

C_L & C_D sono rispettivamente i coefficienti di portanza e resistenza.

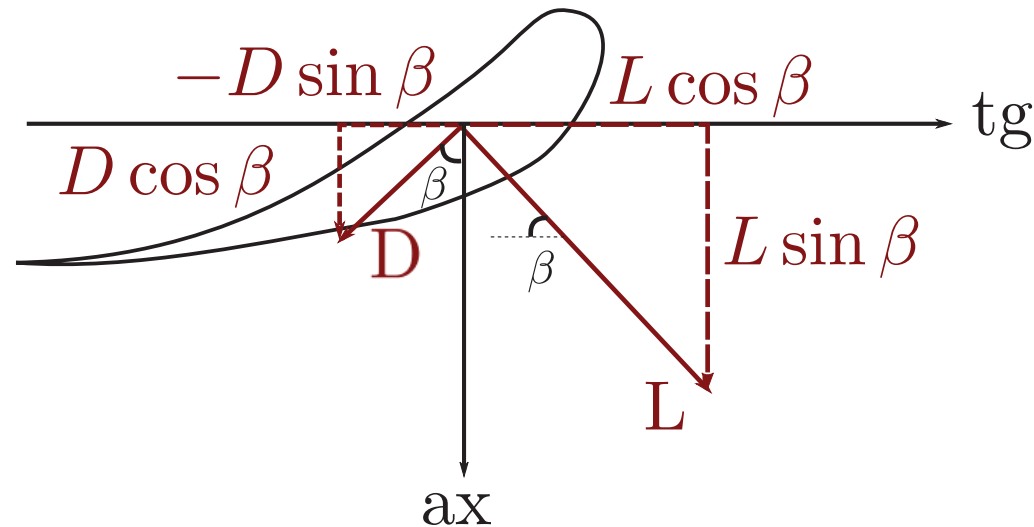


$$C_L = C_L(\alpha, Re, \text{profile})$$

$$C_D = C_D(\alpha, Re, \text{profile})$$

$$Re = \frac{\rho w c}{\mu}$$

Forze agenti sul profilo



$$dF_{ax} = dL \sin \beta + dD \cos \beta = \frac{1}{2} \rho c dr w^2 (C_L \sin \beta + C_D \cos \beta) \quad (5)$$

$$dF_{tg} = dL \cos \beta - dD \sin \beta = \frac{1}{2} \rho c dr w^2 (C_L \cos \beta - C_D \sin \beta) \quad (6)$$

Lavoro Estraibile dalla Turbina Eolica

La forza tangenziale è responsabile del lavoro estraibile dalla turbina eolica. Infatti, la coppia motrice risultante dalle forze tangenziali che il flusso genera su ciascuna pala è:

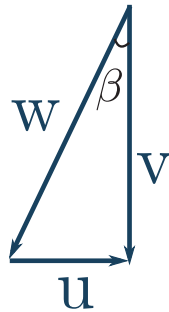
$$dM = dF_{tg} \cdot r = \frac{1}{2} \rho c N_{bl} w^2 (C_L \cos \beta - C_D \sin \beta) r dr \quad (7)$$

La potenza estraibile è quindi data dall'integrale lungo l'intera altezza palare della coppia motrice che moltiplica la velocità di rotazione:

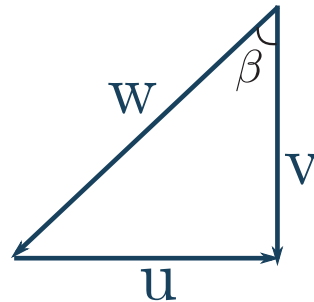
$$P_e = M \cdot \omega = \frac{1}{2} N_{bl} \rho \omega \int_{R_{hub}}^{R_{tip}} c w^2 (C_L \cos \beta - C_D \sin \beta) r dr \quad (8)$$

Resta da stabilire come cambiano le quantità all'interno dell'integrale in funzione della coordinata radiale.

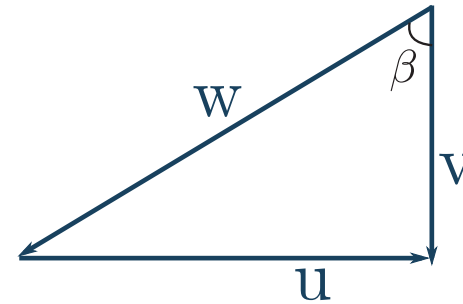
$$P_e = \frac{1}{2} N_{bl} \rho \omega \int_{R_{hub}}^{R_{tip}} c w^2 (C_L \cos \beta - C_D \sin \beta) r dr$$



Hub



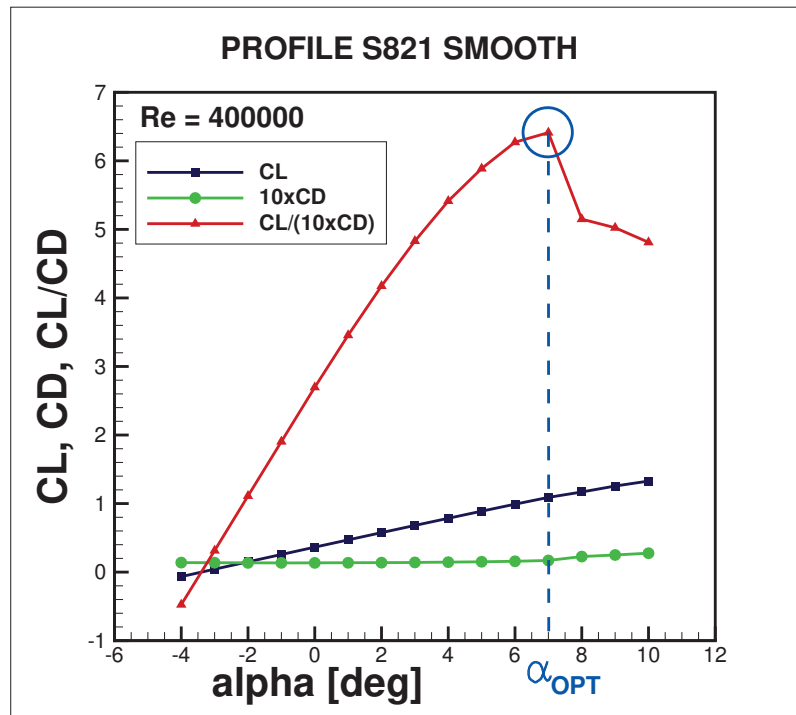
Primary



Tip

Lungo la coordinata radiale, la velocità periferica $u = \omega \cdot r$ aumenta \rightarrow w e β aumentano in modulo!

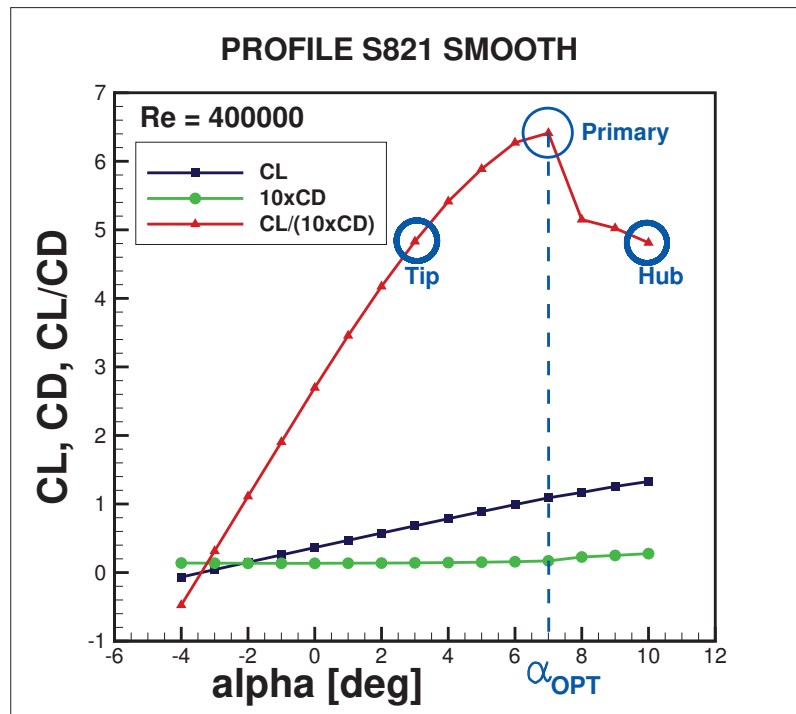
$$P_e = \frac{1}{2} N_{bl} \rho \omega \int_{R_{hub}}^{R_{tip}} c w^2 (C_L \cos \beta - C_D \sin \beta) r dr$$



Dall'espressione della potenza, dedotta per una turbina eolica Lift-based, è chiaro che si vuole aumentare il Lift e al tempo stesso mantenere basso il Drag.

$$\hookrightarrow \max \left(\frac{C_L}{C_D} \right) !$$

$$P_e = \frac{1}{2} N_{bl} \rho \omega \int_{R_{hub}}^{R_{tip}} c w^2 (C_L \cos \beta - C_D \sin \beta) r dr$$



Partendo dal primario:

$$\alpha_{opt} \rightarrow \text{eq. (2)} \rightarrow \gamma_{prim}$$

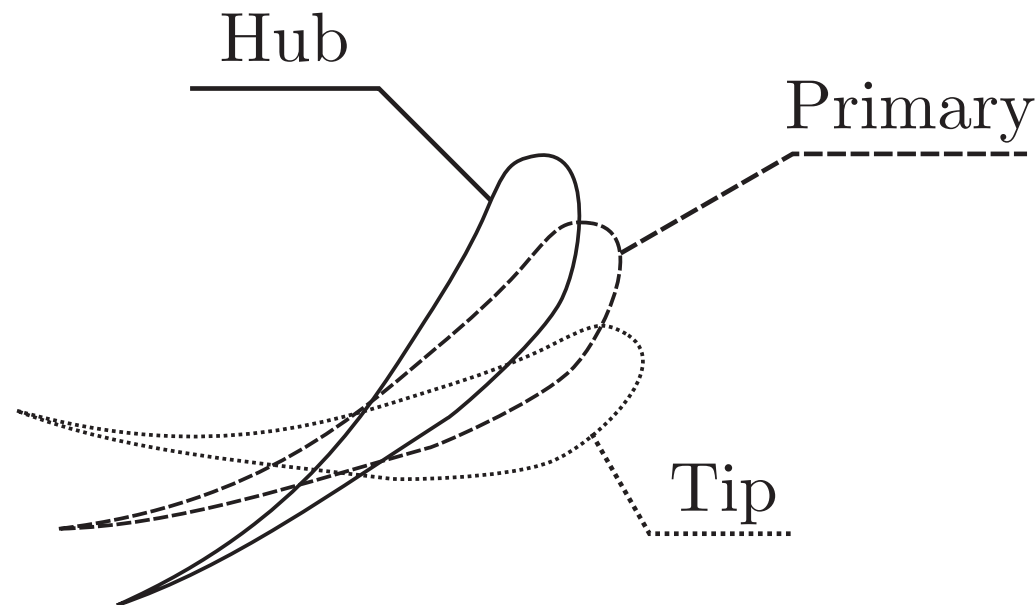
Qualora si estrudesse il profilo lungo la coordinata radiale ($\gamma = \text{const}$), a fronte di una variazione di β dovuta alla variazione di velocità periferica:

$$\forall r \neq R_{prim} \rightarrow \alpha \neq \alpha_{opt}$$

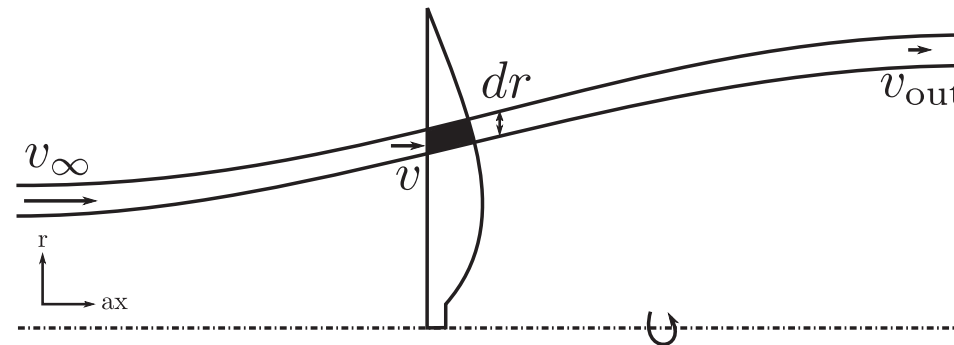
$$P_e = \frac{1}{2} N_{bl} \rho \omega \int_{R_{hub}}^{R_{tip}} c w^2 (C_L \cos \beta - C_D \sin \beta) r dr$$

SOLUZIONE: Svergolamento delle pale!

Noto β si modifica γ al fine di ottimizzare α per le diverse sezioni (a coordinata radiale differente) di riferimento.



$$P_e = \frac{1}{2} N_{bl} \rho \omega \int_{R_{hub}}^{R_{tip}} c w^2 (C_L \cos \beta - C_D \sin \beta) r dr$$



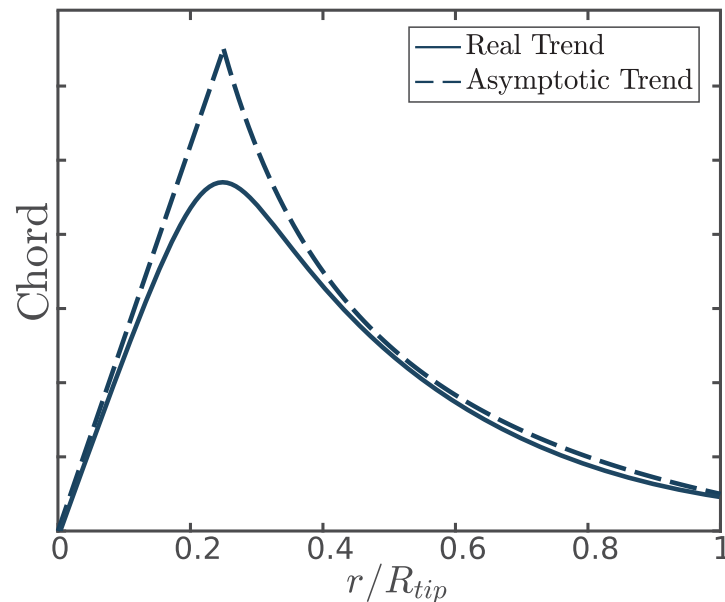
$cp = P_e / P_d$
 P_d - potenza disponibile
 $P_d = 1/2 * e * A * v_{infinito}^3$

$$dF_{ax} = d\dot{m} (v_\infty - v_{out})$$

$$\frac{1}{2} \rho c dr w^2 N_{bl} (C_L \sin \beta + C_D \cos \beta) = \rho 2\pi r dr v (v_\infty - v_{out})$$

$$c = \frac{\pi r}{N_{bl}} \frac{v^2}{w^2} \frac{8a}{1-a} \frac{1}{(C_L \sin \beta + C_D \cos \beta)} \quad (9)$$

Evoluzione della corda lungo la coordinata radiale



$$a = \frac{v_\infty - v}{v_\infty}, \text{ fattore di induzione.}$$

$$c = \frac{\pi r}{N_{bl}} \frac{v^2}{v^2 + u^2} \frac{8a}{1 - a} \frac{1}{(C_L \sin \beta + C_D \cos \beta)}$$

Trend asintotici:

- ▶ $r \rightarrow 0, v^2 + u^2 \approx v^2 \Rightarrow c \sim r$
- ▶ $r \rightarrow R_{tip}, v^2 + u^2 \approx u^2 \Rightarrow c \sim r^{-1}$

Esempio di Geometria Finale

3D Blade Evolution



Profile Evolution

